

أثر سماكة الغلاف الجوي بين (٥٠٠ - ١٠٠٠) مليار على الأمطار في الأردن

حامد موسى الخطيب^(١)

كما تتعرض المنطقة إلى ظروف جوية استثنائية تضر بالسكان ومتناكلتهم ومزارعهم، وتمثل هذه الظروف بتدني درجات الحرارة إلى ما دون الصفر، وطفيران مياه الفيضانات على المساكن والمزارع، فبالأمس هذا بعد أيضاً اهتمام المختصين وألوه عناليتهم في الدراسة والتحليل.

لقد تعرض كل من Krown^(٢) وبارود^(٣) إلى مسألة التنبؤ المبكر لأمطار الموسم القادم باستخدام النمط العام لتوزيع قيم الضغط الجوي فوق النصف الشمالي من الكره الأرضية. واستخدم كل من Dayan^(٤) و الزنكه^(٥)، مسارات الرياح النقاط وامتداده للتنبؤ بكميات الأمطار السنوية. واستخدم العديد من النماذج الرياضية لهذا الغرض، واستغلت بعض النماذج الإحصائية المعروفة (السلسل الزمنية، التحليل الطيفي) للكشف عن مدى تكرار السنوات الماجلة والمطيرة. كما استغل Tzvetkov^(٦) مقدار المخزون الحراري بمياه البحر المتوسط خلال شهر تشرين الثاني للتنبؤ بكمية الهطول المتوقعة على منطقة حوض البحر المتوسط.

ونظراً للتقدم الهائل في وسائل الرصد والاتصال من خلال شبكة محكمة من مقاييس الهطول الحديثة، وشبكة الرادارات، وصور الأقمار الصناعية، والسفن غير ذلك، فقد أمكن التوصل إلى العديد من النماذج الرياضية التي تهدف إلى توقع كمية الهطول التي يمكن أن تترجم عن حالة جوية معينة، مثل ذلك نموذج (ARMA) الذي يستطيع

(١) Krown, "An approach to forecasting seasonal rainfall in Israel" PP.590-594.

(٢) بارود ، "التنبؤ المبكر بالأمطار السنوية في الأردن" ص ٣٧-٧٨.

(٣) Dayan," Heavy rain in the Middle East related to unusual jet stream properties". PP1138-1140.

(٤) الزنكه، "موقع الرياح النقاط واثرها في منخفضات وامطار العراق، ص ٥٠-٧٥.

(٥) Tzvetkov, " The mediterranean heat storage and Israel: Precipitation" PP.1036-1040.

ملخص

يتغير نظام الهطول في منطقة حوض البحر المتوسط بتقلبات فصلية واضحة، كما تتفاوت المنخفضات الجوية في مدى فاعليتها، وينعكس ذلك على كمية الهطول. وقد استخدمت البيانات المتعلقة بسماكة الغلاف الجوي ما بين ٥٠٠ - ١٠٠٠ مليار لتنبؤ بمعنى فاعلية الحالات الجوية المطرية خلال الفترة ١٩٨٠ - ١٩٩٠، وشملت الدراسة (٩٩) حالة جوية مطرة، وقد لمست عدة نماذج إحصائية لتحقيق هذا الهدف مثل الانحدار البسيط، والتحليل العامل والتحليل العشوائي. وقد تبين أن للحالة التي تتفاوت بها سماكة الغلاف الجوي تأثيراً أكثر ووضوحاً على الهطول من تفاوت قيم هذه السماكة، بحيث تكون الحالة الجوية أكثر فاعلية كلما كان الشكل العام لخطوط القيم المتسلبية على شكل أخدود يمتد من الشمال إلى الجنوب، وتتناقص فاعلية الحالة الجوية إذ شاب انظامها بعض الأحوال الدافئة. كما تبين أن قيم السماكة خلال الحالات المدروسة تتحدد خمسة أشكال مختلفة تتفاوت في تأثيرها من شكل إلى آخر، إذ إن أكثرها فاعلية ما كان على شكل أخدود متطلوب منتظم يمتد من الشمال إلى الجنوب.

مشكلة الدراسة وأهدافها

تتفاوت منطقة حوض البحر المتوسط بين وقت وآخر سنوات يغلب عليها وفرة الأمطار وأخرى يغلب عليها الجفاف. ونظراً لاعتماد سكان المنطقة بشكل رئيسي على الأمطار بمختلف مناحي حياتهم وبخاصة الزراعية، فإن عنصر الهطول يعد أحد العناصر الرئيسية التي أخذت جانبها كبيراً من اهتمامات علماء المناخ والمياه.

* مركز الاستشارات والخدمات الفنية والدراسات، الجامعة الأردنية، تاريخ استلام البحث ١٩٩٩/٦/٢٧، وتاريخ قبوله ٢٠٠٠/٥/٢٩.

أ— البيانات المتعلقة بالهطول

اعتمدت ثلاثة محطات مناخية رئيسية هي محطة بير علاء تمثل إقليم الغور، ومطار عمان ليمثل إقليم المرتفعات، ومطار المفرق ليمثل إقليم البدارنة: وقد تم اختيار هذه المحطات الثلاث كمؤشر عام ولا يقصد بذلك تمثيل نظام الهطول المطري في الأردن.

تم اعتماد كل من عمر المنخفض الجوي، وأعلى كمية هطول ومجموع الهطول لكل محطة أثناء الحالات الجوية الممطرة خلال الفترة (١٩٩٠ - ١٩٨٠)، وقد بلغ عدد الحالات الجوية الممطرة خلال هذه الفترة نحو (١٤٨) حالة، اعتمد منها فقط (٩٩) حالة نظراً لعدم توفر خرائط سماكة الغلاف الجوي لباقي الحالات لدى دائرة الأرصاد.

ب— البيانات المتعلقة بسماكة الغلاف الجوي

اعتمدت الخرائط الألمانية^(٥) المتعلقة بسمك الغلاف الجوي ما بين (٥٠٠ - ١٠٠٠) ملليبار عند منتصف الليل بتوقیت غرينتش، وقد اعتمد هذا الوقت لتوفّر خريطة واحدة فقط لكل يوم تمثل سماكة الغلاف الجوي عند هذه الساعة.

وقد تم تسجيل قيم خطوط تساوي السماكة لدى مرورها عند تقاطع خطوط الطول (صفر - ٦٠° شرقاً) مع دوائر العرض (٣٠ - ٥٦٥° شمالاً) (الشكل رقم ١). وتغطي هذه المنطقة معظم أوروبا والبحر المتوسط ويندو فيها ساحل بلاد الشام الذي يقع الأردن إلى الشرق منه (الشكل رقم ٢). ويعد ساحل بلاد الشام على البحر المتوسط آخر امتداد لهذه الخرائط الألمانية المتعلقة بسمك الغلاف الجوي نحو الشرق.

واعتمدت لهذه الغاية خريطة واحدة لكل حالة جوية، وتمثل هذه الخريطة اليوم الذي سقطت فيه أعلى كمية من

ترويد محطات الرصد بكمية الهطول التراكمية من خلال النمط العام للهطول في بداية الحالة الجوية، كما استخدم "Autoregressive-Transfer Function Model"^(٦) نموذج Labadi^(٧) لتوقع كمية الهطول على منطقة سان فرانسيسكو، وقد تم تطوير هذا النموذج على يد العالم الإيطالي Trotta عام ١٩٧٦، وما زال يستخدم لهذا الغرض في بعض مؤسسات الرصد الجوي.

ورغم تناول العديد من الباحثين مختلف المتغيرات التي يمكن بواسطتها التنبؤ أو التوقع بكميات الهطول التي قد تجم عن بعض الحالات الجوية الممطرة، إلا أنها لم تتطرق بأي حال من الأحوال إلى مفهوم سماكة الغلاف الجوي "Thickness" الذي يعبر عنه في خرائط الطقس بالметр جهد أرضي (Geopotential Meter) ما بين قيم الضغط الجوي (٥٠٠ - ١٠٠٠ ملليبار).

لذلك، فإن هذه الدراسة ستحاول إلقاء الضوء على هذا المتغير كأحد العوامل التي يمكن من خلالها التعرف على نمط الهطول المطري فوق الأردن وفق الآتي:

١— هل تتأثر كميات الهطول بتباين قيم سماكة الغلاف الجوي؟

٢— هل تتأثر كميات الهطول بالنمط العام للتوزع قيم سماكة الغلاف الجوي؟

٣— هل يوجد نسق عام ثابت لقيم السماكة أم تتغير وفق الحالات الجوية المختلفة؟

٤— هل توجد مناطق معينة في المنطقة لها قيمة مهيمنة على كميات الهطول؟

منهج الدراسة

يمكن أن نقسم منهج الدراسة إلى قسمين رئисيين هما:
أولاً: طرق جمع البيانات والمعلومات

(٥) خرائط أوفنباخ الألمانية، تنتجهما مصلحة

الأرصاد الجوية الألمانية، وهي خرائط يومية، مودعة لدى مكتبة دائرة الأرصاد الجوية-عمان. وبدأت الجامعة الأردنية بابداعها ضمن مكتبتها اعتباراً من عام ١٩٩٧.

Burlando, forecasting of short-term rain fall using ARMA models, 193-211. (٦)

Labadi, "Worth of Short-term rainfall forecasting for combined sewer overflow control" (٧)

pp.1489-1497.

وبموجب مصفوفة (Score Matrix) المستخرجة من نتائج التحليل العاملي، استخدم الأسلوب الإحصائي المعروف بالتحليل العنقودي (Cluster Analysis)، حيث تبين هذه المصفوفة مدى العلاقة بين كل منخفض جوي وبين العوامل أو الأقاليم المستمدة من مصفوفة Factor (Loading).

ويهدف هذا الأسلوب الإحصائي في هذه الدراسة إلى تصنيف المنخفضات الجوية التي أثرت على الأردن خلال الفترة المعنية بالدراسة (١٩٨٠ - ١٩٩٠)، حيث تم اعتماد نموذج (Ward) لهذه الغاية، نظراً لارتفاع نسبة التفسير التي تم الحصول عليها نتيجة تطبيق هذا النموذج مقارنة بغيره من الخيارات (Options) المتعلقة بهذا التحليل.

مناقشة النتائج

الخصائص العامة للنطء العام لسماكة الغلاف الجوي (٥٠٠ - ١٠٠٠) مليبار

تبين قيم سماكة الغلاف الجوي (٥٠٠ - ١٠٠٠) مليبار في نصف الكرة الشمالي إلى التزايد باتجاه الجنوب في جميع فصول السنة، كما أن هذه القيم تقل في فصل الشتاء عنها في فصل الصيف، حتى عندما تسود حالة من الاستقرار النسبي في المنطقة. ويعود السبب في ذلك إلى تناقص درجة الحرارة كلما اتجهنا صوب القطب الشمالي، وتذبذبها أيضاً في فصل الشتاء عنها في فصل الصيف، حيث تعلم درجات الحرارة المرتفعة على تسخين الهواء الملائم لسطح الأرض، مما ينشط حركة صعوده إلى أعلى على شكل تيارات حمل صاعدة، وبهذا تزداد سماكة طبقة المزج وهي الطبقة الفعالة في الغلاف الجوي.

وقد تبين على سبيل المثال أن معدل سمك الغلاف الجوي (٥٠٠ - ١٠٠٠) مليبار في ١٣١/١٩٩٩ قد بلغ نحو (٥٢٩) متر جهد أرضي (ديكامتر) بينما ارتفع المتوسط في ٢٦/١٩٩١ إلى (٥٦٦) ديكامتراً. أما خلال فترة الدراسة فإن أدنى معدل لهذه السماكة كان من نصيب النقطة رقم (١٢) الواقعة بوسط سيبيريا،

المطر خلال الحالة الجوية المعتمدة في الدراسة، وقد بلغ عدد النقاط المعتمدة في هذه الدراسة (٣٥) نقطة.

ثانياً: طرق التحليل الإحصائي

استخدمت عدة نماذج إحصائية للوصول إلى الأهداف التي حدلت لهذه الدراسة، فقد استخدم نموذج الانحدار البسيط لمعرفة مدى مساعدة سماكة الغلاف الجوي في تفسير بعض المتغيرات المتعلقة بالهطول أثناء قمة تأثير المنخفض الجوي الذي تتعرض له المنطقة، وذلك بموجب النموذج التالي:

$$y = a + b_i + x_i + e$$

حيث أن:

y = أحد المتغيرات المتعلقة بالهطول (عمر المنخفض الجوي، أعلى كمية أمطار، مجموع الأمطار ...)

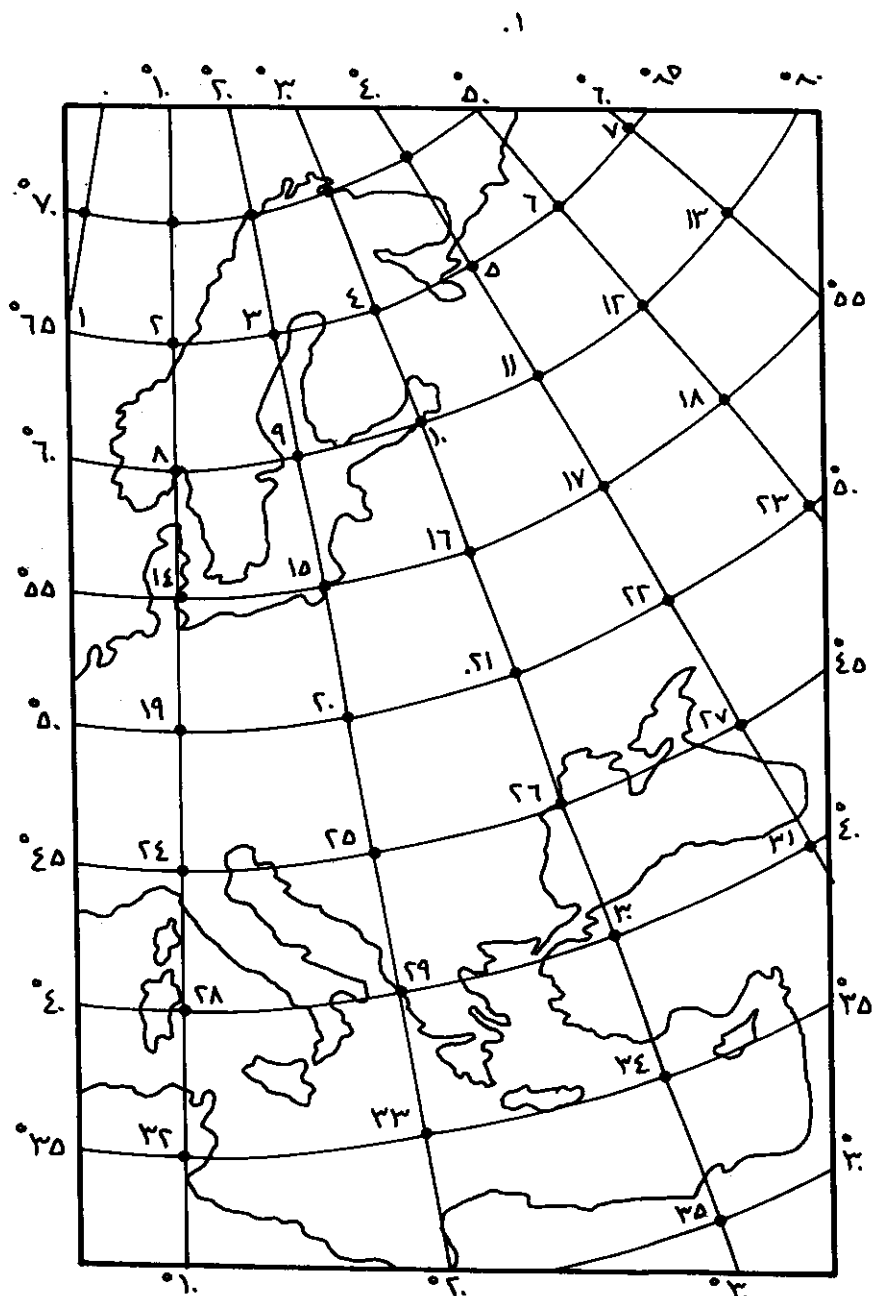
x_i = معدل قيم سماكة الغلاف الجوي (٥٠٠ - ١٠٠٠) مليبار لجميع المواقع.

a = نقطة القطع، وتمثل قيمة y عندما تكون قيمة x صفرأً.

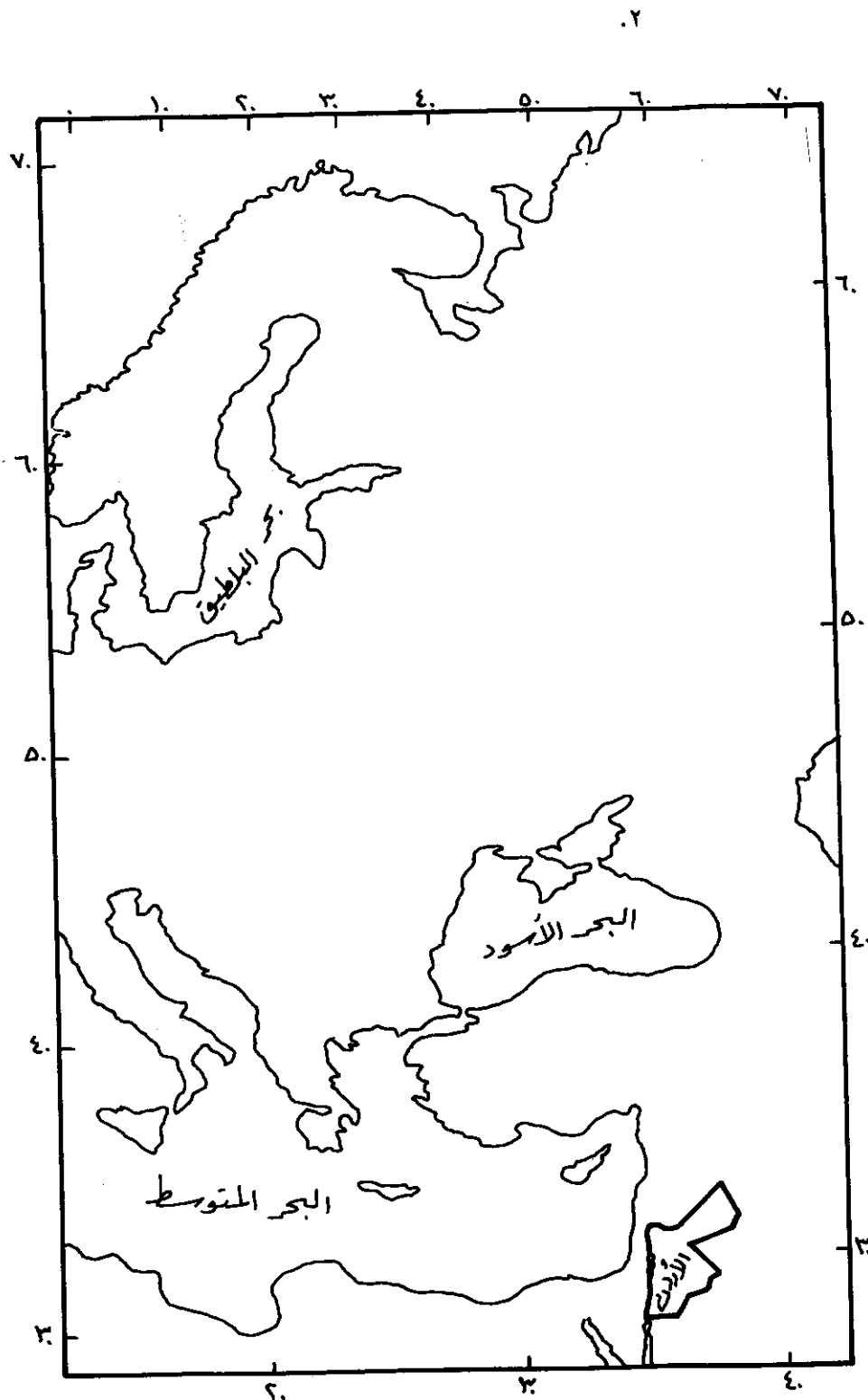
b_i = معامل الانحدار، وتمثل مقدار الزيادة في y عندما تزيد قيمة x وحدة واحدة.

e = مقدار الخطأ.

كما استخدم التحليل العاملي (Factor Analysis) لتحديد أي المناطق الأكثر أهمية في تأثيرها على المنخفضات الجوية التي تعبر منطقة شرق البحر المتوسط لا سيما الأردن. ويعتبر هذا النموذج الإحصائي بقدرته على تجميع المتغيرات الدالة في الدراسة إلى عوامل رئيسية (Factors) بموجب الجذر الكامن (Eigen Value)، حيث تم استبعاد العوامل التي يقل فيها الجذر الكامن عن (١). وقد تمثلت المتغيرات بنقاط الدراسة (٣٥ نقطة)، بينما تمثلت المشاهدات (Observations) بالمنخفضات الجوية قيد الدراسة (٩٩ منخفضاً)، ولذلك فإن تجميع عدة نقاط متباينة بعامل واحد بموجب مدى تشبع العوامل (Factor Loading) مع المنخفضات الجوية سيكون هذا العامل معبراً عن إقليم جغرافي معين.



الشكل رقم (١): الموقع المستخدمة في الدراسة.



الشكل رقم (٢) : موقع الأردن بالنسبة لمنطقة الدراسة.

ويوضح الشكل رقم (٣) محصلة النط العام لتوزع قيم سماكة الغلاف الجوي (٥٠٠ - ١٠٠٠) ملياري، حسب معدلات هذه القيم خلال فترة الدراسة، والتي تمثل الحالات الجوية الماطرة خلال الفترة (١٩٨٠ - ١٩٩٠). ويبدو أن خطوط السماكة المتتساوية قد اتختن شكلًا منظولاً يمتد من القطب الشمالي حتى السواحل الجنوبية للبحر المتوسط، وتتميز الأطراف الشرقية لهذا الأخدود بأنها الأوفر حظاً في تشكيل المنخفضات الجوية حيث توجد ظاهرة تجمع الرياح (Convergence)، أما الجانب الغربي لهذا الأخدود فهو مناطق تفرق للرياح (Divergence) تتشكل فيها حالات الصد الإعصارية (Anticyclones)، وإن تشكلت منخفضات جوية على هذا الطرف فإنها في الغالب تكون ضعيفة لا تثبت أن تتشكل (١).

وتعمل هذه الأخدود والأعراف على تشتيط تبادل الطاقة بين مناطق الوفرة في الجنوب و مناطق العجز في الشمال، كما تساعد على ازدياد التباين في خصائص الكتل المواتية بين وسط الأخدود والأعراف وبين أطرافها، حيث تتفق الرياح القطبية الباردة عبر الأخدود إلى البحر المتوسط، الذي يتميز بدفنه النسبي شتاءً، مما يساعد على زيادة نشاط التيارات الصاعدة ومن ثم تشكل نويبات المنخفضات الجوية، التي تزداد فعاليتها بزيادة تدفق الرياح الباردة من المناطق القطبية في الشمال.

أثر تباين قيم سماكة الغلاف الجوي (٥٠٠ - ١٠٠٠) ملياري على الهطول

لقد بين وجود تفاوت واضح بين قيم سماكة الغلاف الجوي (٥٠٠ - ١٠٠٠) ملياري بين الصيف والشتاء، ولكن هناك تفاوتاً أقل ووضوحاً ضمن فصل الشتاء، إلا أن هذا التفاوت في معدلات قيم هذه السماكة من منخفض إلى آخر يعتبر متواضعاً نوعاً ما، ولكن هذا التفاوت رغم توسيعه له مدلول ذو أهمية كبيرة في

فقد بلغ المعدل العام لسماكة الغلاف الجوي (٥٠٠ - ١٠٠٠) ملياري نحو (٥٦,٦) بيكامتر، ويعود السبب في ذلك إلى أن سيبيريا تعد من أدنى بقاع الأرض في درجة الحرارة خلال فصل الشتاء، بالإضافة إلى ذلك فإن معدل سماكة الغلاف الجوي بشكل عام في المناطق القطبية وشبه القطبية أقل من سماكة في المناطق المدارية وشبه المدارية.

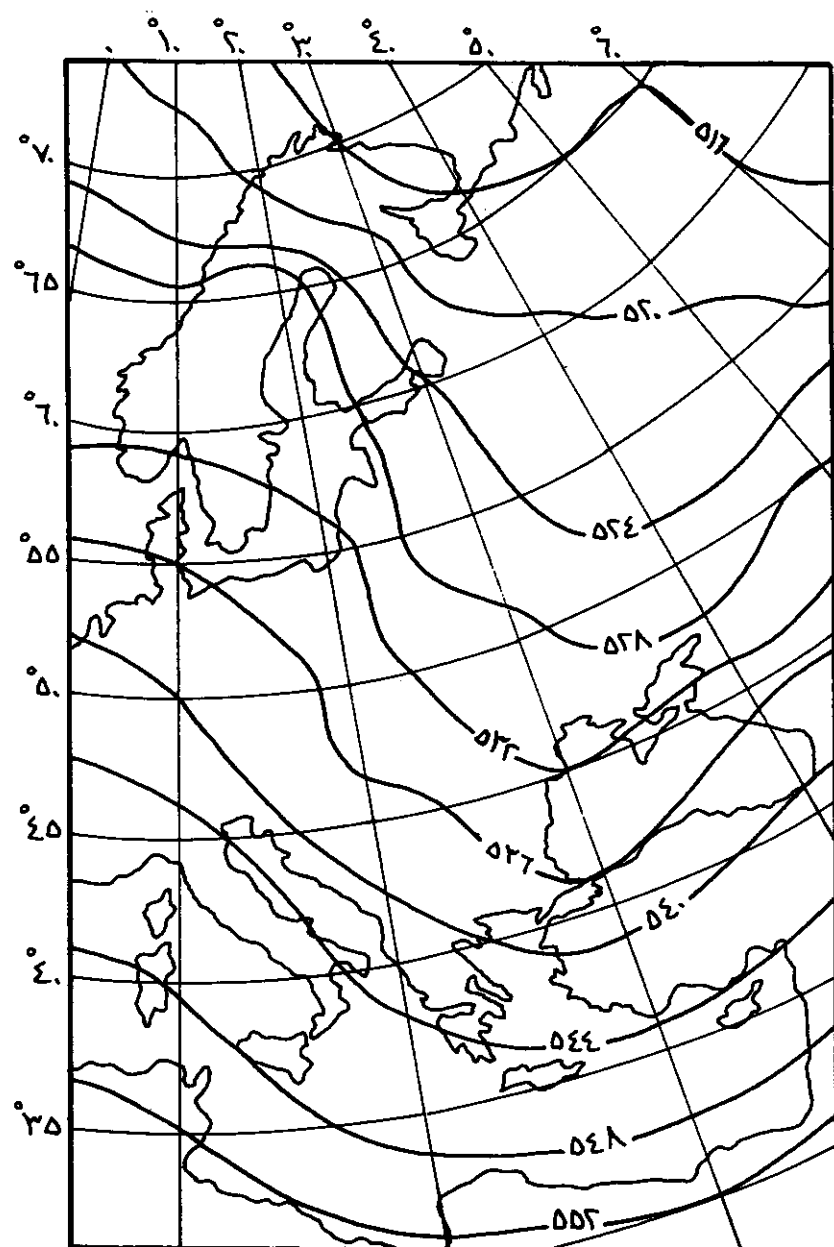
ويبدو أن معدلات قيم سماكة الغلاف الجوي (٥٠٠ - ١٠٠٠) ملياري للمنخفضات الجوية ليست هي العامل الحاسم في فعالية تلك المنخفضات الجوية التي تؤثر على الأردن (كما سيتضح فيما بعد)، إذ لا يوجد فارق كبير بين معدلات قيم هذه السماكة بين منخفض وآخر، وإن فاعلية تباين معدلات هذه القيم من منخفض إلى آخر يعود إلى اختلاف تلك القيم فوق الموقع الواحد من منخفض إلى آخر، مما يؤثر في النسق العام لتوزع قيم سماكة الغلاف الجوي (٥٠٠ - ١٠٠٠) ملياري، فتظهر الأخدود والمتون والأحواض في طبقات الجو العليا.

وتلعب الرياح الغربية التي تسير في طبقات الجو العليا من الغرب إلى الشرق والمعروفة بالغربيات (Westerlies) دوراً كبيراً في رسم أشكال خطوط سماكة الغلاف الجوي (٥٠٠ - ١٠٠٠) ملياري، حيث تسير هذه الرياح بخطوط موازية تقريراً لدوائر العرض على شكل موجات ضعيفة إذا كان الجو مسقراً، وتعرف هذه الحالة بالحركة العرضية (Zonal Component)، وتطور هذه الموجات وتنما في الحالات الجوية العنفة، وتولد الأخدود والأعراف، التي تجبر الغربيات على تغيير مسارها فيصبح من الشمال إلى الجنوب. وتعرف هذه الحالة بالحركة الرئيسية (Meridional Component). وإذا امتدت الأخدود والأعراف بصورة أكبر فإن أطرافها تتقطع على شكل دوامات (Vortex) تتمثل منخفضات جوية دائمة إذا انقطعت عن الأخدود، وتتمثل مرتفعات جوية دائمة إذا انقطعت عن الأعراف. وتسمى هاتان الظاهرتان على التوالي Cutoff Omega low و Cutoff high مشكلة ما يدعى Block^(٤).

(٤) شحادة، "فصلية الأمطار في الحوض الشرقي للبحر المتوسط وأسيا الغربية"، ص ٥٥-٥.

(٨) Moran & Morgan, "Meteorology", pp.227- 245.

.٣



الشكل رقم (٣): محصلة النمط العام لتوزع سماكة الغلاف الجوي
٥٠٠-١٠٠٠ (مليبار) خلال فترات المنخفضات الجوية.

المفسر لعدد من المتغيرات المتعلقة بالهطول في الأردن من قبل هذه السماكة عند تطبيق نموذج الانحدار البسيط.
(الجدول رقم ١).

خلق أشكال مختلفة في النمط العام لتوزع سماكة الغلاف الجوي (٥٠٠ - ١٠٠٠) مليبار، إذ كان له دور فاعل في فعالية المنخفضات الجوية. ونظرًا لقلة تفاوت قيم سماكة الغلاف الجوي (٥٠٠ - ١٠٠٠) مليبار بين منخفض جوي وأخر، فقد انعكس ذلك على تنوع مقدار التباين

الجدول رقم (١): علاقة الأمطار في بعض المحطات مع المعدل العام لسماكة الغلاف الجوي خلال الفترة (١٩٨٠ - ١٩٩٠)

اسم المتغير	الارتباط	التفسير	قيمة a	قيمة b	مستوى الثقة
عمر العاصفة/عمان/يوم	٠,١٩	٠,٠٤	٣٤,٩	٠,٠٦ -	٠,٠٥
عمر العاصفة/المفرق/يوم	٠,٢٢	٠,٠٥	٣٢,٢	٠,٠٦ -	٠,٠٢
عمر العاصفة/دير علا/يوم	٠,٢٠	٠,٠٤	٣٤,١	٠,٠٦ -	٠,٠٥
أعلى كمية أمطار/عمان/ملم	٠,١٤	٠,٠٢	١٣١,٦	٠,٢٣ -	٠,١٨
أعلى كمية أمطار/المفرق/ملم	٠,١٢	٠,٠٢	٧٦,٦	٠,١٣ -	٠,٢٢
أعلى كمية أمطار/دير علا/ملم	٠,١٠	٠,٠١	٩٨,٨	٠,١٦ -	٠,٢٤
مجموع الأمطار/عمان/ملم	٠,١٦	٠,٠٣	٢٣٩,٠	٠,٤٩ -	٠,١٠
مجموع الأمطار/المفرق/ملم	٠,١٥	٠,٠٢	١٥١,٥	٠,٢٦ -	٠,١٥
مجموع الأمطار/دير علا/ملم	٠,١٤	٠,٠٢	٢٩١,٣	٠,٣٩ -	٠,١٦

أثر الموقع الجغرافي على النسق العام لسماكة الغلاف الجوي (٥٠٠ - ١٠٠٠) مليبار

تم استخدام التحليل العامل نوع (Varimax) لمعرفة أي المناطق أو الأقاليم الجغرافية الأكثر تأثيراً على النسق

يؤكد الجدول رقم (١) أن قيم سماكة الغلاف الجوي لا تتفاوت تفاوتًا يتناسب والاختلاف الكبير في قيم كميات الهطول وعمر العاصفة المطرية وأعلى كمية مطرد؛ إذ يبدو أن النمط العام لتوزع تلك السماكات هو الأكثر تأثيراً.

استحوذ العامل الأول، الذي يمثل منطقة شبه جزيرة اسكندرافيا على نصف قيمة التفسير تقريباً. وبين الشكل رقم (٣) المستمد من الجدول رقم (٢) الأقاليم الجغرافية التي تؤثر على النسق العام لتوزع سماكة الغلاف الجوي (٥٠٠ - ١٠٠٠) مليبار.

وقد تأسّم التعرف على هذه الأقاليم من مصفوفة خاصة تسمى مصفوفة تشبع العوامل (Factor Loading)، بحيث يدمج كل موقع من بين الـ (٣٥) موقعاً إلى العامل/الإقليم الجغرافي الذي يتمتع بأعلى قيمة تشبع مع هذا الإقليم، فالإقليم الأول ضم سبعة مواقع، وضم الإقليم الثاني ثلاثة مواقع، والثالث ضم ثلاثة مواقع وهذا (انظر الجدول رقم ٢).

العام لتوزع سماكة الغلاف الجوي (٥٠٠ - ١٠٠٠) مليبار، ومن ثم مدى تأثير تلك المناطق الجغرافية على فاعالية المنخفضات الجوية التي تؤثر على الأردن.

ونتاج عن تطبيق هذا النموذج الإحصائي تجميع المواقع الـ (٣٥) في مجموعات، تتمثل كل مجموعة عامل/إقليماً جغرافياً ضمن منطقة الدراسة الموضحة آنفًا. وبموجب هذا النموذج فإن كل موقع منها يمثل عاملًا، وكل عامل وزن يعبر عنه بجذر كامن (Eigen Value)، وتعتمد عادة العوامل التي تتمتع بجذر كامن تزيد قيمته عن (واحد)، وبناء على ذلك برزت سبعة عوامل/إقليم جغرافية استطاعت أن تفسر ما نسبته ٧٥% من قيمة النسق العام لسماكة الغلاف الجوي (٥٠٠ - ١٠٠٠) مليبار. وقد

الجدول رقم (٢): قيم التشبع Factor Loading بين العوامل وبين المحطات المعتمدة في الدراسة وفق نموذج Rotated Factor

F7	F6	F5	F4	F3	F2	F1	المحطة	F7	F6	F5	F4	F3	F2	F1	المحطة
				٠,٧٢			١٩							٠,٨٠	١
					٠,٧٩		٢٠							٠,٨٢	٢
					٠,٧٢		٢١							٠,٨٢	٣
			٠,٧٨				٢٢							٠,٦٤	٤
			٠,٨٤				٢٣		٠,٧١						٥
				٠,٨٤			٢٤		٠,٧٢						٦
					٠,٦٣		٢٥		٠,٦٦						٧
					٠,٦٤		٢٦							٠,٨٠	٨
				٠,٧٣			٢٧							٠,٨٠	٩
					٠,٨٤		٢٨							٠,٦٢	١٠
٠,٥٧							٢٩		٠,٤٩						١١
				٠,٧٦			٣٠		٠,٤٨						١٢
				٠,٦٦			٣١		٠,٦٢						١٣
					٠,٧٣		٣٢	٠,٤٠							١٤
٠,٤٢							٣٣							٠,٦٥	١٥
					٠,٦٣		٣٤							٠,٧٣	١٦
						٣٥								٠,٦١	١٧
														٠,٦٦	١٨

أخدود علوي واضح يبدأ من وسط سيبيريا حتى جنوب البحر المتوسط، ويمثل هذا الأخدود الطوي قاع موجة ضخمة، ويقع جنوب اليونان وجزيرة كريت في منتصف هذا القاع، وتقع جزيرة قبرص عند بداية جناحه الشرقي، وهذا يفسر سبب تشكل معظم المنخفضات الجوية الفعالة على الأردن عند جزيرة قبرص التي تمثل منطقة تجمع هادئ، حيث تلتقي كل هادئية قطبية باردة جافة قادمة من الشمال مع كل هادئية دافئة رطبة جائحة فوق البحر المتوسط، وبعد هذا النمط الصورة المثلثية التي تساعد على نشأة المنخفضات الجوية، وأي خلل في هذا النمط يقلل من فرص تشكيل المنخفضات الجوية، ويقلل من شأنها أيضاً.

ويتبين من الجدول رقم (٣) والشكل رقم (٤) أن المنطقة الممتدة من شبه جزيرة اسكندنافيا حتى اليونان، وهي تضم شبه جزيرة اسكندنافيا وشرق أوروبا ووسطها، هي الأكثر هيمنة على فعاليات المنخفضات الجوية، إذ استطاع هذا الامتداد الضخم من المناطق القطبية شمالاً إلى المناطق شبه المعتدلة جنوباً تفسير ما نسبته ٤٨% من تباين النسق العام لسمكافة الغلاف الجوي (٥٠٠ - ٥٠٠) مليبار. ولعل هذا الأمر يتضح بشكل جلي من خلال الشكل رقم (٣) الذي يمثل المعدل العام لنطط توزع هذه السماكة خلال المنخفضات الجوية التي تؤثر على الأردن، حيث يبدو

الجدول رقم (٣): مقدار تفسير العوامل السبعة من تباين النسق العام لسمكافة الغلاف الجوي فوق منطقة الدراسة

العامل	المنطقة	الجزء الكامن	مقدار التفسير	مقدار التفسير المترافق
الأول	شبه جزيرة اسكندنافيا	١٢,٩٧	٣٧,١	٣٧,١
الثاني	شرق أوروبا ووسطها	٣,٩١	٤٨,٣	١١,٢
الثالث	غرب أوروبا	٣,١٠	٥٧,٢	٨,٩
الرابع	آسيا الوسطى	١,٩٩	٦٢,٨	٥,٧
الخامس	تركيا والخوض الشرقي للمتوسط	١,٧٩	٦٨,٠	٥,١
السادس	شمال سيبيريا	١,٥١	٧٢,٣	٤,٣
السابع	مناطق متفرقة	١,٠٨	٧٥,٤	٣,١

على حجز مسار الغربيات، ولذلك فإن مثل هذه المنخفضات تتميز بضيقها وبقصر عمرها^(١٠).

استخدام نمط التوزع العام لسمكافة الغلاف الجوي (٥٠٠ - ١٠٠٠) مليبار لغليات توقع كميات الهطول: تم استخدام التحليل العنقودي وفق طريقة (Ward) لتصنيف المنخفضات الجوية التي أثرت على الأردن

ويأتي إقليم غرب أوروبا في المرتبة الثالثة، ويمثل الجناح الغربي للأحاديد في طبقات الجو العليا، وبعد هذا الإقليم منطقة تفرق، فإذا وصل إلى هذا الطرف منخفض جوي فإنه مساره يتحول نحو الشمال والشمال الشرقي قبل أن يصل إلى شرق البحر المتوسط، إذ يعمل هذا الأخدود

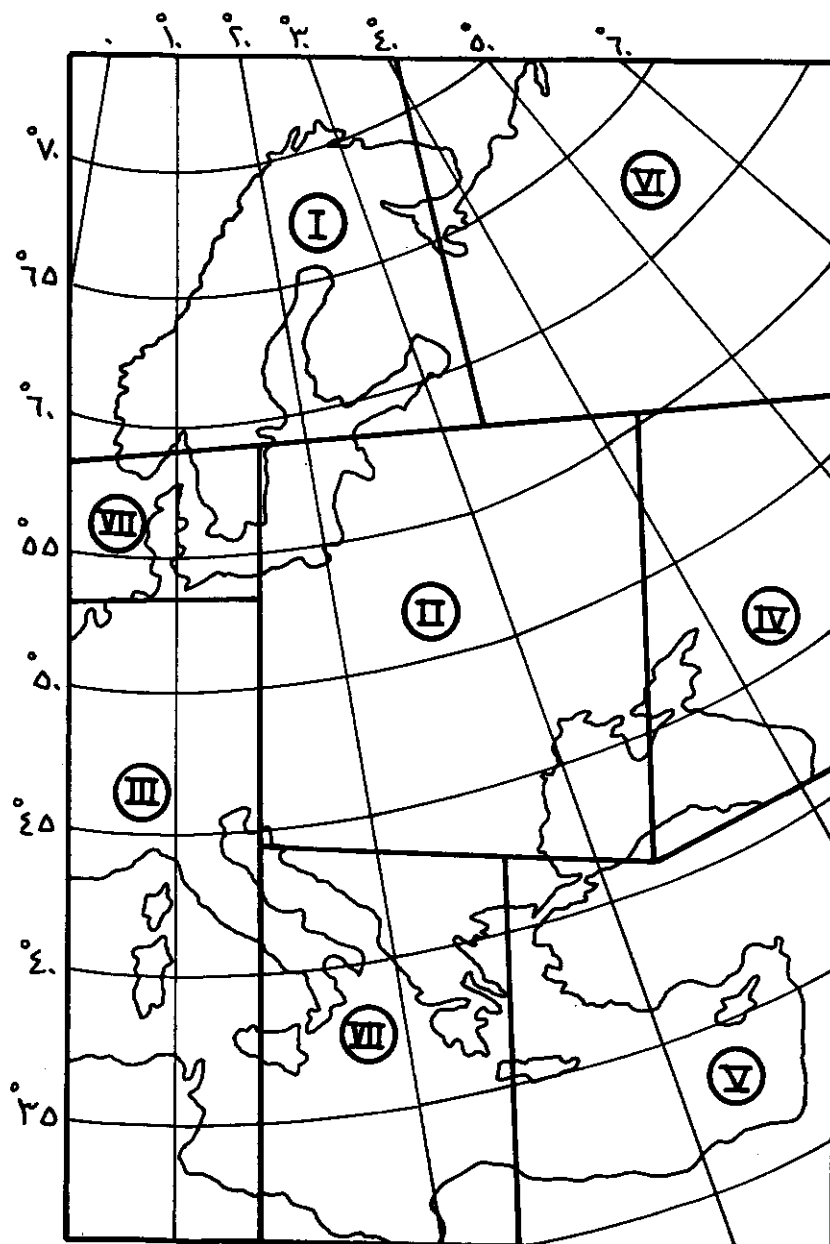
(١٠) شحادة، مصدر سابق، ص ٥٥-٥.

ومن خلال شجرة التحليل العنقودي (Dendogram) الموضحة في الشكل رقم (٥)، وباختيار نقطة قطع عند الرقم (٥) على محور معامل التشابه (Rescaled Distance Cluster Combine)

خلال الفترة (١٩٨٠-١٩٩٠) بحيث اعتمدت المصفوفة المسماة (Score Matrix) الناجمة عن تطبيق التحليل العاملي، بحيث يكون لكل مشاهدة/منخفض جوي وزن خاص يربطها مع الموقع الـ (٣٥)، بحيث تمثل العوامل المتغيرات وتمثل المنخفضات الجوية المشاهدات.

الشكل رقم (٤): تصنیف منطقه البراسة إلى فئات حسب تأثیرها
على النسق العام لسمکة الغلاف الجوي.

.٤



بالهطول للمحطات المناخية الثلاث التي اعتمدت في هذه الدراسة. وفيما يلي أهم الخصائص العامة التي تتميز بها كل فئة:

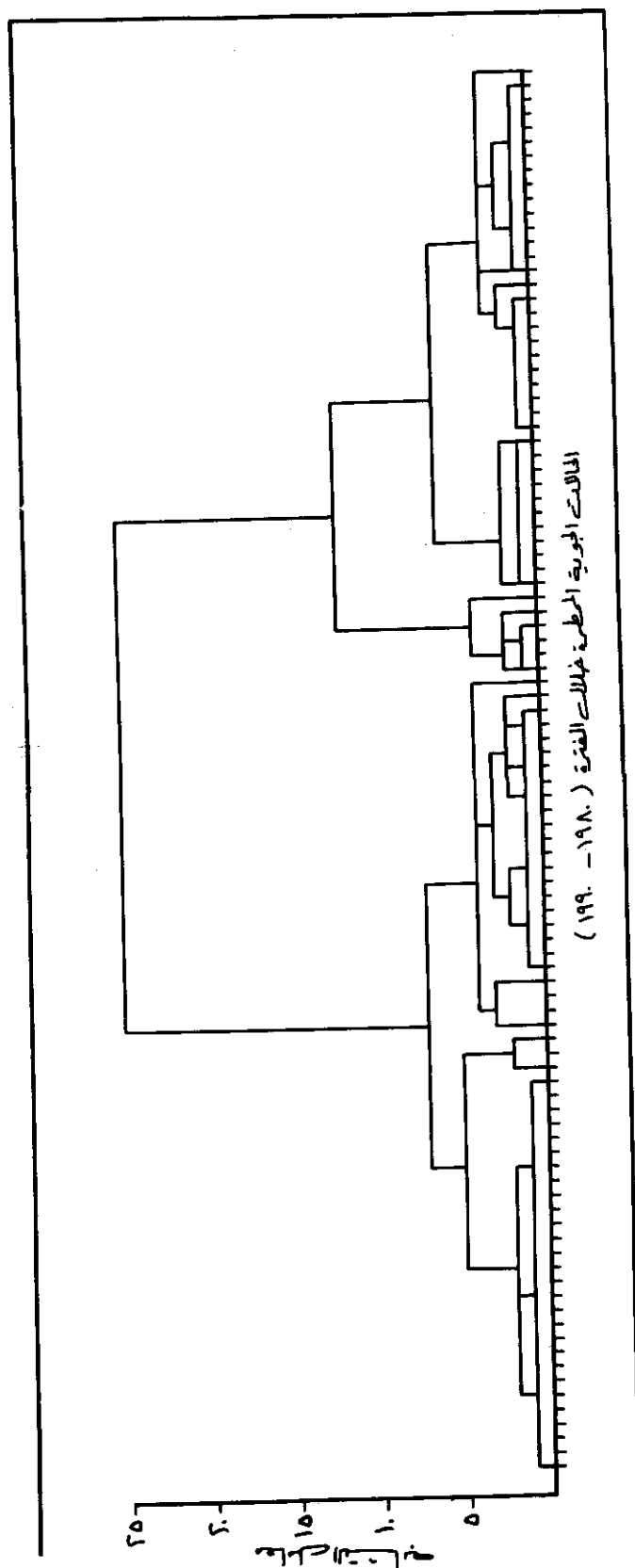
ظهر لدينا خمسة أنماط واضحة تمثل الحالة العامة التي تتنظم بها سماكة الغلاف الجوي (٥٠٠ - ١٠٠٠) مليبار. وبين الشكل رقم (٦) [أ، ب، ج، د، ه] تلك الأنماط، وبين الجدول رقم (٤) المعدل العام للمتغيرات المتعلقة

جدول رقم (٤) معدل بعض المتغيرات الخاصة بالهطول حسب الفئات المستمدة من التحليل العقودي

المتغير	الفئة الأولى	الفئة الثانية	الفئة الثالثة	الفئة الرابعة	الفئة الخامسة
عمر العاصفة/عمان/يوم	٣,٠	٢,٢	٢,٣	١,٣	١,٣
عمر العاصفة/المفرق/يوم	٢,٣	١,٢	٢,٥	٢,٠	١,٠
عمر العاصفة/بير علا/يوم	٣,٢	٣,١	٣,٣	٢,٣	١,٥
أعلى كمية مطرول/عمان/ملم	١٥,٣	٧,٦	١٠,٧	١١,٣	٧,٨
أعلى كمية مطرول/المفرق/ملم	٩,٤٠	٥,٣	٦,٩	٧,٧	٥,٣
أعلى كمية مطرول/بير علا/ملم	١٤,٥	١٣,٨	١١,٨	٧,٧	٤,٠
مجموع المطرول/عمان/ملم	٢٤,٦	١٧,٣	١٠,١٠	١٤,٧	١١,٩
مجموع المطرول/المفرق/ملم	١٥,٤	١١,٠	٧,٩	١٠,٥	٦,٣
مجموع المطرول/بير علا/ملم	٢٤,٤	٢١,٢	١٩,٧	١٢,٢	٦,٩

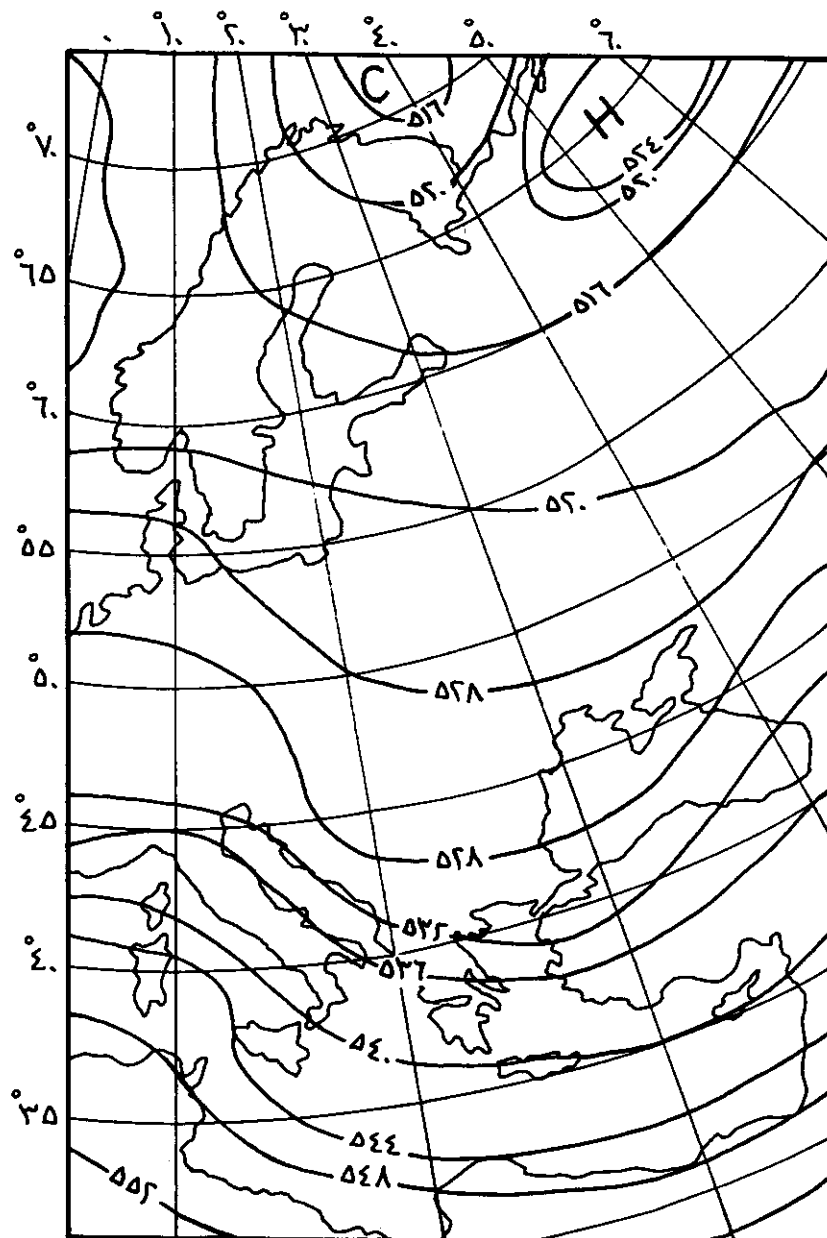
أ- **عمر العاصفة**
 تقع ضمن فصل الشتاء، وبالرجوع إلى الشكل رقم (٦ـأ) الذي يمثل النسق العام لسماكة الغلاف الجوي (٥٠٠ - ١٠٠٠) مليبار أشتمل المنخفضات الجوية التابعة للفئة الأولى، نجد أن الأخدود القطبي يمتد بصورة مثالية من المناطق القطبية شمالا حتى البحر المتوسط جنوبا وبمحور يكاد أن يكون عموديا على سواحل البحر المتوسط الشمالية والجنوبية، وبعد هذا الشكل الأكثر مثالية لتكون المنخفضات الجوية فوق البحر المتوسط، حيث تتشاً المنخفضات فوق كل من جنوب اليونان وقبرص، نظر

للتغيرات الجوية التي تقع ضمن الفئتين الأولى والثانية بطول عمرها نسبيا مقارنة بأعمار بقية المنخفضات الجوية، وبين أن عمر تلك المنخفضات في منطقة الأغوار التي تمتلكها محطة بير علا أطول عمدا من تلك المنخفضات من نفس الفئة في كل من عمان والمفرق. ويبدو أن فتحة مرج بني عامر التي تطل مباشرة على الغور قد ساعدت على إطالة عمر المنخفضات الجوية المؤثرة على منطقة الغور. كما أن تغير منخفضات الفئتين الأولى والثانية بطول عمرها النسبي يعود إلى أن نسبة



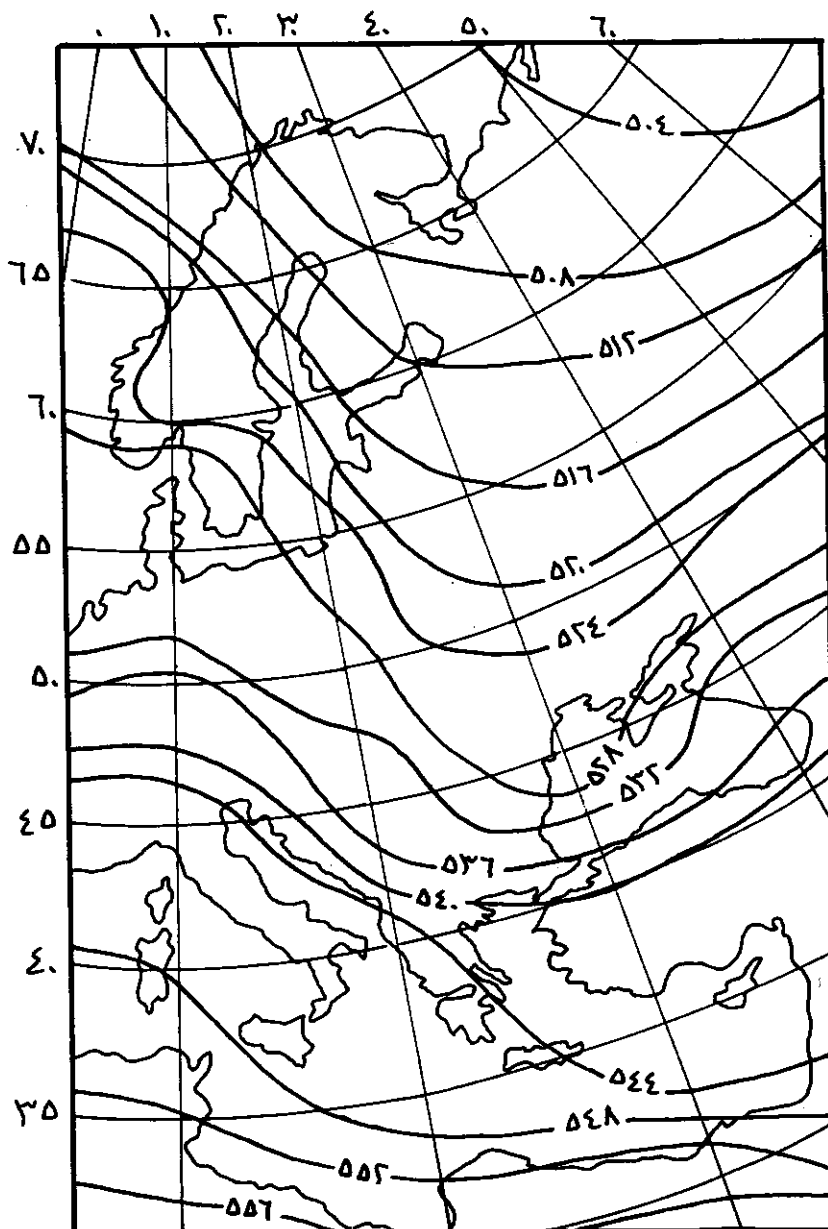
الشكل رقم (٥): شجرة التحليل العنقيدي.

(٤)



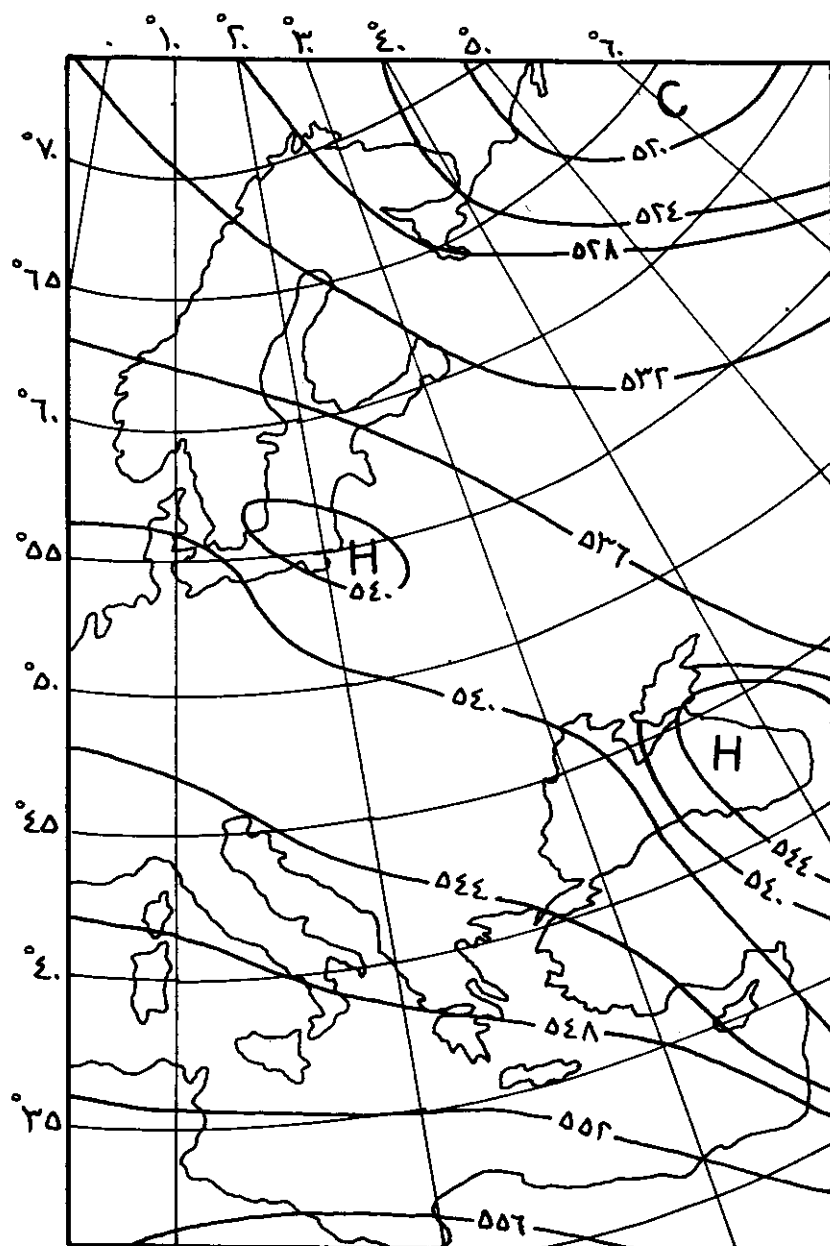
الشكل رقم (٦) : الحالة العامة لانتظام سمك الغلاف الجوي وفق الفئة (٤).

(ب)



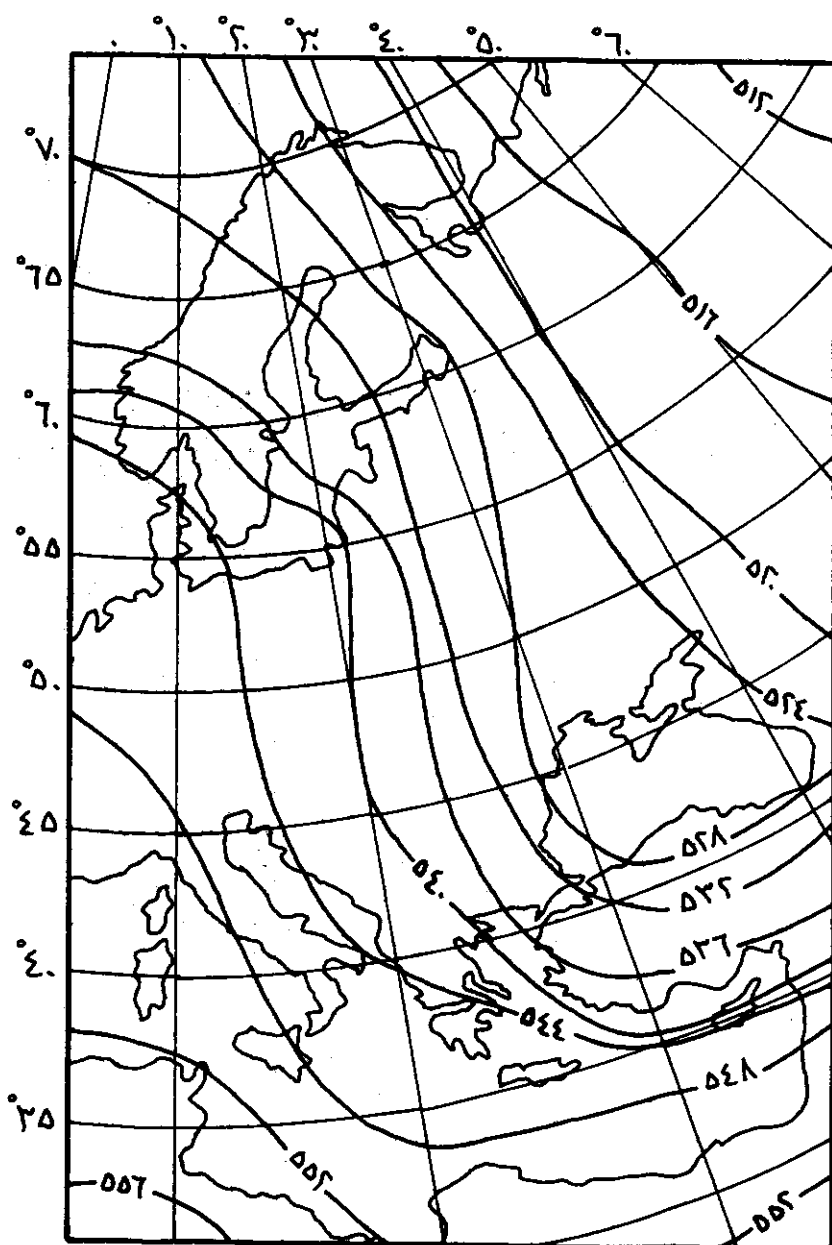
الشكل رقم (٦): الحالة العامة لانتظام سماكة الغلاف الجوي وفق الفئة (ب).

(ج)



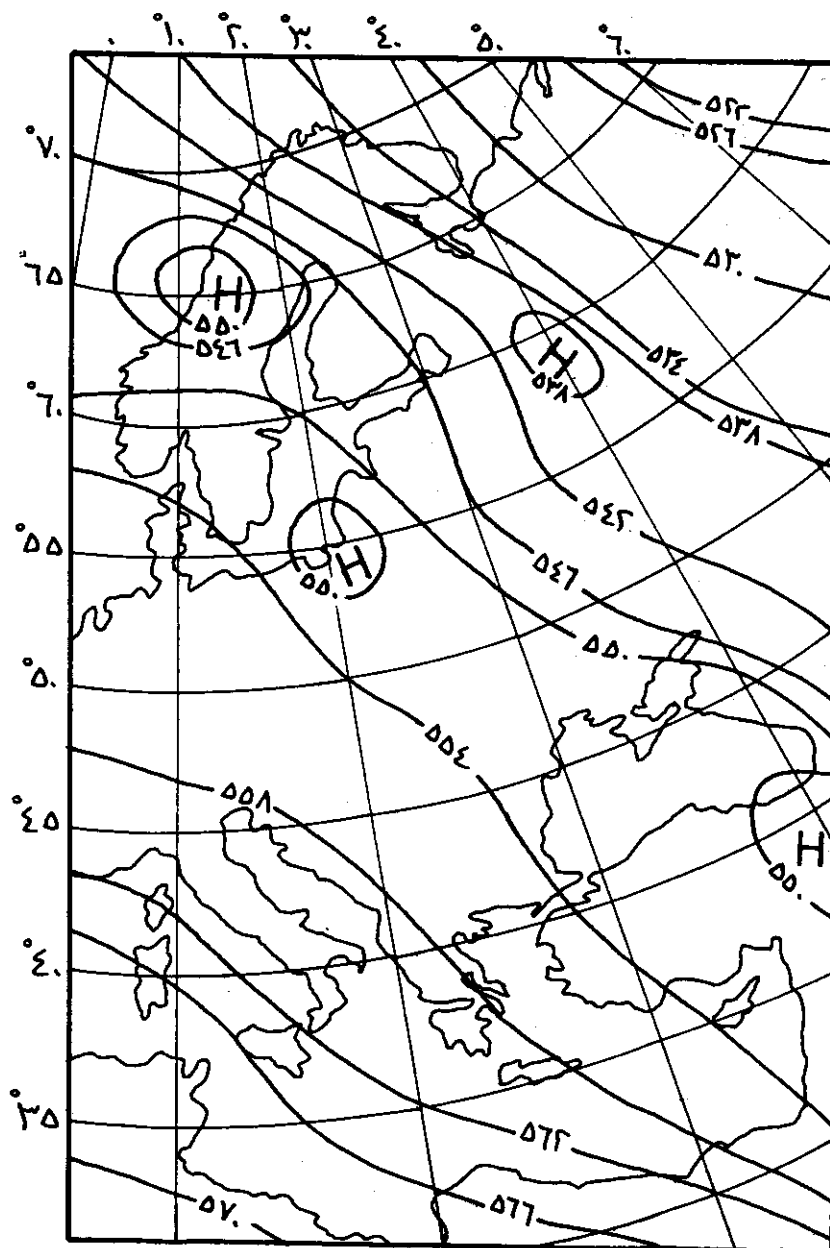
الشكل رقم (٦): الحالة العامة لانتظام سماكة الغلاف الجوي وفق الفئة (ج).

(3)



الشكل رقم (٦): الحلة العامة لانظام سماكة الغلاف الجوي وفق الفئة (د).

()



الشكل رقم (٦): الحالة العامة لانظام سماكة الغلاف الجوي وفق الفئة (هـ).

هـ)، حيث احتفى الأخدود القطبي كلياً، وظهرت نتوءات من الضغط الجوي المرتفع، تعمل على تشكيل النسق العام وتقليل فاعليته، كما أن مسار التيار النفاث ينحر نحو الشمال وبصورة واضحة جداً في المنخفضات الجوية التي تقع ضمن الفئة الخامسة، حيث يتتجاوز التيار النفاث البحر الأسود باتجاه الشمال، مما يقلل من فرص تشكل المنخفضات الجوية ذات الفاعلية الكبيرة فوق البحر المتوسط، وإن كان لأحدها فرصة التكون فوق البحر المتوسط بفعل تدفق الرياح الشمالية الغربية الأقل برودة من الرياح القطبية الشمالية فإنها تكون ضعيفة قصيرة العمر.

ب - أعلى كمية هطول

تتميز المنخفضات الجوية التي تقع ضمن الفئة الأولى بأعلى كمية هطول، حيث تحتل هذه المنخفضات المرتبة الأولى بينما تمثل المنخفضات الجوية في الفئة الخامسة المرتبة الأخيرة. ويلاحظ أن المنخفضات الجوية في كل من الفئة الثانية والرابعة تكاد تتساوى في قيم أعلى كمية هطول. ويعود السبب في ذلك إلى تشابه النسق العام تقريباً لسماكه الغلاف الجوي (٥٠٠ - ١٠٠٠) مليار، إلا أن قيمها في الفئة الرابعة أعلى (انظر الشكل ٦-ب، د)، ووقوع التيار النفاث في الفئة الرابعة أبعد نحو الشمال، كما أن الموضع المفضل لتكون المنخفضات الجوية في الفئة الرابعة (جزيرة قبرص، بحر إيجة) قد أصبحت في موقع تفرق الهواء على الجناح الغربي للأخدود.

ج - مجموع الهطول :

تحتل المنخفضات الجوية التي تقع ضمن الفئة الأولى المرتبة الأولى في مجموع الهطول، تتبعها المنخفضات الجوية التي تقع ضمن الفئة الثانية، وتحتل المنخفضات الجوية التي تقع ضمن الفئة الخامسة المرتبة الأخيرة، باستثناء كمية الهطول في محطة مطار عمان المدني، حيث تحتل المنخفضات الجوية التي تقع ضمن الفئة الثالثة المرتبة الأخيرة، ولعل السبب في ذلك يعود إلى قلة تأثر هذه المحطة بالمنخفضات الجوية التي تؤثر على الأردن في فصل الربيع.

لكونهما مناطق تجمع للرياح القادمة من المناطق القطبية، ونظراً لكون هذه المنخفضات على البحر المتوسط وليس على شواطئه الشرقية فإن الفرصة تكون مواتية لتعمقها قبل أن تبدأ الغربيات بالهبوط بعد أن تجذب قمة الموجة.

أما الفئة الثانية (شكل ٦-ب) فإن امتداد الأخدود يكاد ينتهي عند السواحل الشمالية للبحر المتوسط، ولذلك فإن المنخفضات الجوية الواقعة ضمن هذه الفئة تتكون فوق بحر إيجة، وتكون فعاليتها على الأردن أقل من فعاليات المنخفضات الجوية في الفئة الأولى، حيث تتحرك هذه المنخفضات باتجاه الشمال الشرقي، فيقع الأردن على أطراف المنخفض الجنوبي، وبذلك فإن أعمارها يتوقع أن تكون قصيرة نوعاً ما.

ويلاحظ أيضاً أن التيار القطبي النفاث الذي يقترب عادة بالجبهة القطبية الأطلسية، والذي يقع مساره في معظم الأحيان إلى الشمال من البحر المتوسط، والممثل في الخرائط الخاصة بسماكه الغلاف الجوي (١٠٠٠ - ٥٠٠) مليار بالمنطقة المحصور بين خطي (٥٤٨ - ٥٤٤) نجده يصل إلى السواحل الجنوبية للبحر المتوسط عندما تتأثر المنطقة بمنخفضات الفئة الأولى، أما في الحالة الثانية فإنه يتراجع نحو الشمال ليمر فوق منتصف البحر المتوسط. وهذا يؤكد ما وصل إليه كل من Dayan,^(١١) و الزنكنة^(١٢)، من أن التيار القطبي النفاث له دور كبير في تشكيل المنخفضات الجوية فوق البحر المتوسط وفي مسارتها وفعالياتها.

وقد أثبتت العديد من الدراسات أن موقع كل من التيار القطبي النفاث والتيار النفاث شبه المداري الذي يتراوح موقعه ما بين (٢٥° - ٣٥° شمال خط الاستواء) وحركتهما تلعب دوراً كبيراً في اختيار المناطق المفضلة لنشأة المنخفضات الجوية ومسارتها وفعاليتها بالإضافة إلى توزيع الضغط الجوي،^(١٣) (١٤).

ولو أمعنا النظر في الشكل رقم (٦-ج، د، هـ) لوجدنا أن النسق العام لسماكه الغلاف الجوي (٥٠٠ - ١٠٠٠) مليار قد اختلف كلياً وبخاصة في كل من (جـ،

(١١) Dayan, 1983, Op.cit., pp.1138-1140.

(١٢) الزنكنة ، مصدر سبق ، ص ٦٥.

(١٣) شحادة ، مصدر سبق ، ص ٥٥-٥.

(١٤) Moran & Morgan, Op.cit., P.240.

الجدول رقم (٥): تكرار الحالات الجوية الممطرة موزعة حسب الشهر على الفئات الخمس

الفئة الخامسة	الفئة الرابعة	الفئة الثالثة	الفئة الثانية	الفئة الأولى	الشهر
١	١	١	٢	٢	تشرين الأول
٣	٣	-	٤	١	تشرين الثاني
٢	٤	-	٦	٥	كانون الأول
٢	٣	-	٧	١٢	كانون الثاني
٤	٢	٢	٧	٨	شباط
٥	٣	٢	١	-	آذار
١	٣	١	-	-	نيسان
١	-	-	-	-	أيار
١٩	١٩	٦	٢٧	٢٨	المجموع

د - الشكل العام لانتظام سماكة الغلاف الجوي (٥٠٠-١٠٠٠) مليبار

- يتضح من الشكل رقم (٦) [أ، ب، ج، د، ه] ما يلي:
١. تتخذ خطوط السماكة المتساوية للغلاف الجوي (٥٠٠-١٠٠٠) مليبار شكلًا متطاولاً على شكل أخدود يمتد من الشمال إلى الجنوب ضمن المنخفضات الجوية التي تقع ضمن الفئة الأولى، بينما يمتد هذا الأخدود العلوي من الشمال الغربي (نحوها) إلى الجنوب الشرقي ضمن المنخفضات الجوية التي تقع ضمن الفئة الثانية. وهذا الوضع يساهم مساهمة كبيرة (كما ذكر آنفاً) في تشكيل المنخفضات الجوية فوق الحوض الشرقي للبحر المتوسط وتعقدها وزيادة فعاليتها، وبختفي هذا الأخدود في المنخفضات الجوية التابعة للفئات الأخرى.
 ٢. عدم تجزئة الأخدود العلوي بتنوعات من الضغط الجوي المرتفع ضمن المنخفضات الجوية التي تقع ضمن الفئتين الأولى والثانية، حيث تعمل هذه التنويعات على إضعاف النسق العام لتوزيع الضغط الجوي، وبالتالي إضعاف الفاعلية الجوية فوق البحر المتوسط، إذ تشكل هذه التنويعات حاجزاً تعيق مسار الغربيات التي يعود إليها الفضل في تشكيل المنخفضات الجوية.

ويرتبط مجموع كمية الهطول الخاصة بكل منخفض بالنسق العام للدورة العامة للغلاف الجوي، ممثلة بتوزع الضغوط الجوية، ويعبر عنها في هذه الدراسة بـسماكة الغلاف الجوي (٥٠٠ - ١٠٠٠) مليبار. فالمنخفضات الجوية التي تكون مصاحبة لتشكل أخدود علوي في طبقات الجو العليا ضمن موجة عملاقة أو موجة قصيرة، يمتد من المناطق القطبية في الشمال إلى البحر المتوسط في الجنوب، هي المنخفضات الأوفر مطرًا والأطويل عمرًا والأكثر غزارة. وإذا صادف أن وصل التيار النفاث في امتداده نحو الجنوب إلى السواحل الجنوبية للبحر المتوسط، فإن هذا الأمر يشجع على تشكيل المنخفضات الجوية فوق الحوض الشرقي للبحر المتوسط، وان ترحرحه إلى الشمال من البحر المتوسط، يقلل من فرص تكون المنخفضات الجوية الفعالة فوق البحر المتوسط، وإن أتيحت لبعضها فرص التشكيل فإنها تكون في الغالب ضعيفة ضحلة قليلة الفاعلية.

٤. أمكن تصنيف الحالات الجوية المطرة إلى خمس فئات واضحة بناء على النمط العام لتوزع سماكة الغلاف الجوي (٥٠٠ - ١٠٠٠) ملياري.
٥. يمكن اعتماد النمط العام لتوزع سماكة الغلاف الجوي لغایات التبؤ قصير الأجل، بحيث:
- تزداد فاعلية الحالة الجوية كلما كان شكل خطوط تساوي قيم سماكة الغلاف الجوي (٥٠٠ - ١٠٠٠) ملياري على شكل أخدود يمتد من الشمال إلى الجنوب.
 - تزداد فاعلية المنخفضات الجوية كلما كان الأخدود العلوي خالياً من نتوءات الضغط الجوي المرتفع.
 - تقل فاعلية الحالة الجوية عندما تزداد قيم سماكة الغلاف الجوي (٥٠٠ - ١٠٠٠) ملياري من الشمال الشرقي إلى الجنوب الغربي.
 - تقل فاعلية المنخفضات الجوية إذا سارت خطوط تساوي قيم سماكة الغلاف الجوي (٥٠٠ - ١٠٠٠) ملياري في خطوط مستقيمة عرضية.

المراجع

- Krown, L. 1966. An Approach to Forecasting Seasonal Rainfall in Israel, *Journal of Applied Meteorology*, 5, pp. 591-594.
١. بارود، نعيم، ١٩٩٣، التبؤ المبكر بالأمطار السنوية في الأردن، رسالة ماجستير غير منشورة، الجامعة الأردنية.
٢. Dayan,U. 1983. Heavy Rain in the Middle East Related to Unusual Jet Stream Properties, *Bulletin of American Meteorological Society*, 64,(10)1138-1140.
٣. الزنكتة، محمود، ١٩٩٦، موقع التيار الفاصل وأثره في منخفضات وأمطار العراق، رسالة ماجستير غير منشورة، جامعة بغداد.
٤. Tzvetkov, E. et al. 1982. The Mediterranean Heat Storage and Israeli Precipitation, *Water Resources Research*, 18, (4), 1036-1040.
- ٥.

٣. تزداد قيم سماكة الغلاف الجوي (٥٠٠ - ١٠٠٠) ملياري من الشمال إلى الجنوب في المنخفضات الجوية التي تقع ضمن الفئة الأولى، بينما تزداد تلك القيم من الشمال الغربي إلى الجنوب الشرقي في المنخفضات الجوية التابعة للفئة الثانية. أما في المنخفضات الجوية التي تقع ضمن الفئات الثالثة والرابعة والخامسة، فإن القيم تزداد من الشمال الشرقي إلى الجنوب الغربي.

وبذلك نستطيع القول بأنه كلما تزايّدت قيم سماكة الغلاف الجوي (٥٠٠ - ١٠٠٠) ملياري من الشمال إلى الجنوب، أو من الشمال الغربي إلى الجنوب الشرقي فإن المنخفضات الجوية تتميز بأنها الأطول عمرًا والأكثر والأغزر مطرًا، أما إذا تزايّدت قيم السماكة من الشمال الشرقي باتجاه الجنوب الغربي فإن هذه المنخفضات تتصرف بضعفها وقلة أمطارها وبقصر عمرها.

وقد لا يكون هذا النمط في تزايد قيم سماكة الغلاف الجوي (٥٠٠ - ١٠٠٠) ملياري أثناء مرور المنخفضات الجوية هو العامل الحاسم في فاعلية المنخفضات الجوية بقدر الشكل العام لتوزع هذه القيم، ففي الحالات الجوية التي تقع ضمن الفئات الثالثة والرابعة والخامسة يتخذ مسار الغربيات اتجاهها عرضياً مما يقلل فرص احتلال الكتل الهوائية المتباينة في درجة حرارتها ورطوبتها النسبية، أما في المنخفضات الجوية التي تقع ضمن الفئتين الأولى والثانية فإن مسار الغربيات يكون في الغالب رأسياً.

ملخص النتائج

يتضح مما سبق ما يلي:

١. يوجد أثر متواضع لتفاوت قيم سماكة الغلاف الجوي (٥٠٠ - ١٠٠٠) ملياري على كمية المطر وغزارة الأمطار وعمر المنخفضات الجوية في الأردن.
٢. يوجد أثر واضح للنمط العام لتوزع قيم سماكة الغلاف الجوي (٥٠٠ - ١٠٠٠) ملياري على كمية المطر وغزارة الأمطار وعمر المنخفضات الجوية في الأردن.
٣. أكثر المناطق تأثيراً على النسق العام لتوزع سماكة الغلاف الجوي (٥٠٠ - ١٠٠٠) ملياري هي المنطقة الممتدة من شبه جزيرة اسكندرانيا حتى سواحل البحر المتوسط الشمالية.

٩. شحادة، نعمان، ١٩٨٥، فصلية الأمطار في الحوض الشرقي للبحر المتوسط وآسيا العربية، مجلة دراسات، المجلد الثاني عشر، العدد السابع، الجامعة الأردنية، ص ٥٥-٥٥.
١٠. شحادة، ١٩٨٥، مرجع سابق، ص ٥٥-٥٥.
- Dayan, 1983, Op. Cit., pp. 1138-1140. ١١
١٢. الزنكتة، ١٩٩٦، مرجع سابق ، ص ٦٥ .
١٣. شحادة ، ١٩٨٥ ، مرجع سابق ، ص ٥٥-٥٥.
- Moran et al. 1997, Op.Cit.,pp. 240. ١٤
- Burlando, P., et al., 1993. Forecasting of Short-Term Rainfall Using ARMA Models, *Journal of Hydrology*, 144, 193-211. ٦
- Labadi, J. W., et al. 1981. Worth of Short-Term Rainfall Forecasting Sewer Overflow Combined for Control, Resources Research., 17, (5)-1489 – 1497 .٧
- Moran, J.M. et al. 1997. 5th ed., Meteorology, Prentice Hall, New Jersey.227-245. ٨

The Effect of the Thickness of the Atmosphere Between (500 – 1000 mbar) on the Rainfall in Jordan

Hamid Al-Khateeb*

ABSTRACT

The effect of the cyclones on the Mediterranean region differs from one region to the other in the amount of rainfall and the duration of these rainy cases.

To investigate this phenomenon, we have analyzed the thickness of the atmosphere over the European continent in (99) rainy cases.

Several techniques have been used in the task such as simple regression, factor analysis and cluster analysis. As a result, it has been found that the differences in the thickness values of the atmosphere have less effect than the trend of these values. The most active cases are those which have a trough shape extending from north to south without any hot spots, and the less active ones are those at which the Iso-Thickness lines extend straight without trough shape.

The study has obtained five different clusters. The most dominant cluster is the one which is classified under class (I), which takes the trough shape.

* Centre of Consultations, Services and Studies, University of Jordan. Received on 27/6/1999 and Accepted for Publication on 29/5/2000.